

CAMPO MAGNÉTICO e FORÇA MAGNÉTICA (Cap. 28)

Introdução

Uma barra de plástico carregada (por ex. por atrito) gera um campo (vetorial) elétrico em todos os pontos ao seu redor.

Semelhantemente, um imã produz um campo (vetorial) magnético, ao seu redor.

exemplos de imã: imãs permanentes (feitos de material imantado) como os imãs de geladeira, eletrônicos.

Temos uma relação:

carga el. \leftrightarrow $E \leftrightarrow$ carga el.

"cargas elétricas criam um campo elétrico, o qual por sua vez exerce uma força elétrica sobre uma outra carga (de prova por ex.) colocada no campo."

A simetria, fundamentalmente muito usada na física, sugere que:

carga magn. \leftrightarrow $B \leftrightarrow$ carga magn. ~~ERRADO~~

tudo indica que NÃO EXISTE cargas magnéticas i.e. objetos puntiformes isolados das quais emergem linhas de campo magnético. Precisamente:

Os imãs sempre vem com dois polos, "norte" e "sul". Nunca se encontra um polo magnético isolado ou carga magnética.

\Rightarrow PQ ONDE VEM O CAMPO MAGNÉTICO?

A experiência mostra que o campo magnético vem de cargas elétricas em movimento.

Uma carga el. crieia um campo el., quer ela estivesse em repouso, quer em movimento. Mas se crieia um campo magnético se ela estiver em movimento.

Nunca imã permanente, é o movimento acidental de alguns elétrons dos átomos que produz o campo magnético. Num eletroimã, são os elétrons que se movem através da bobina.

Assim:

carga em mov⁽¹⁾ \rightsquigarrow \vec{B} \rightsquigarrow carga em mov⁽²⁾

"uma carga em movimento ou corrente crieia um campo magnético." (2) Se colocarmos uma carga em movimento em fio com corrente num campo magn., uma força magnética atuaria sobre ele".

Por enquanto, falaremos da parte (2). A parte (1) será vista mais tarde.

Exemplos de imãs



Fig. 30-3 A limalha de ferro revela o campo magnético tridimensional em torno de um "imã para vaca", projetado para ser introduzido no rúmen de bovinos. Lá, o imã impediria que pedacinhos de apara de ferro, ingeridos acidentalmente, chegassesem ao intestino do animal, onde poderiam causar sérios danos.

Eletroimã
↓ →

(= bobina com núcleo de ferro deferro, precisa de corrente)



Fig. 30-1 Aparas metálicas separadas por um eletroimã numa usina siderúrgica.



Fig. 30-2 Eletroimãs usados num acelerador de partículas para curvar o feixe de partículas carregadas.

A definição de \vec{B}

(136)

Em um ponto, foi definido colocando uma carga de prova q_0 pequena, positiva, neste ponto. A força sobre q_0 é $\vec{F}_E = e\vec{E}$ - definimos $\vec{E} = \frac{\vec{F}_E}{e}$. Se tivessemos monópolos magn., poderíamos fazer a mesma coisa p/ definir \vec{B} , mas não os temos. \Rightarrow Termos que definir \vec{B} em termo da força magn. exercida sobre uma carga em movimento.

Para conhecer \vec{B} num ponto, lançarmos uma carga teste através do ponto, várias vezes, mudando sua velocidade em módulo, direção e sentido, e determinarmos a força \vec{F}_B em cada caso. Concluimos que \vec{F}_B pode ser escrita como:

$$\vec{F}_B = q \vec{v} \wedge \vec{B}$$

força sobre a carga ↓ cargo + ou - → campo magn.
↓ velocidade da carga

Isto define \vec{B} em módulo, direção e sentido.

$$\text{Observe: } |\vec{F}_B| = |q v B \sin \phi|$$

(ii) $|\vec{F}_B| = 0$, se $\vec{v} \parallel \vec{B}$ ou antíp. ($\phi = 0$ ou π)

(iii) $|\vec{F}_B|$ é máxima se $\vec{v} \perp \vec{B}$ ($\phi = \pm \pi/2$)

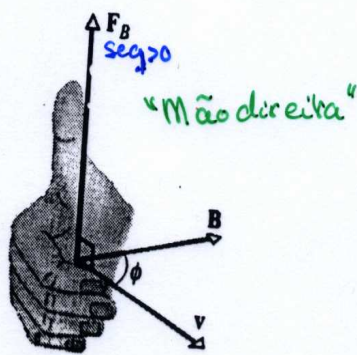
(iv) $\vec{F}_B \perp \vec{v}$ e \vec{B}

(v) A força magn. sobre q está oposta a da força sobre $-q$ se ambas se movem com mesma \vec{v} .

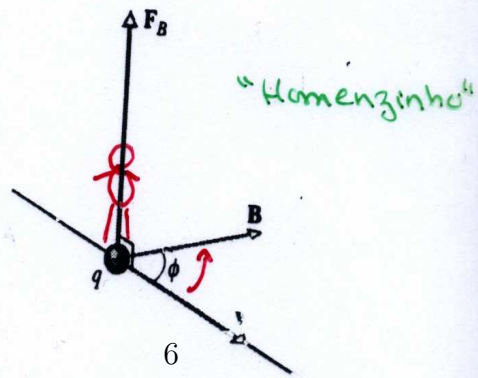
(13)

Regras de orientação

Para $\vec{F}_B = q \vec{v} \wedge \vec{B}$



- 1) Dedos da mão direita apontando na direção de \vec{v}
- 2) Curvar eles na direção de \vec{B}
→ Polegar aponta na direção de \vec{F}_B



- 1) Homenzinho em pé sobre o plano (\vec{v}, \vec{B})
- 2) Se \vec{v} vai para \vec{B} no sentido antihorário, o homenzinho aponta na direção de \vec{F}_B

O sentido de \vec{F}_B se inverte quando q troca de sinal

138

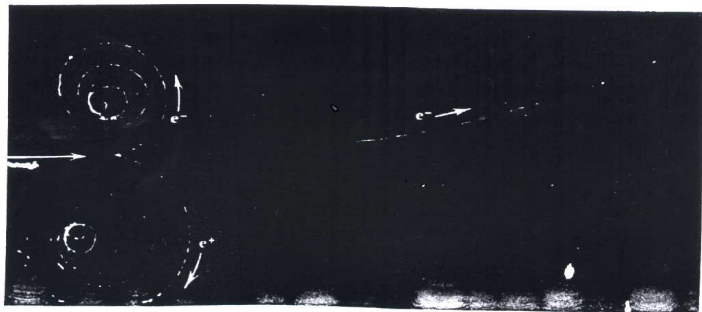


Fig. 30-6 Os traços de dois elétrons (e^-) e um pósitron (e^+) numa câmara de bolha que está imersa num campo magnético que aponta para fora do plano da figura.

$$\vec{B} \quad \textcircled{+} \quad \vec{v}$$

exemplo de:

$$\begin{array}{l} \uparrow \vec{F}_e = -e\vec{v} \times \vec{B} \\ \downarrow \vec{F}_{e^+} = +e\vec{v} \times \vec{B} \end{array}$$

forças para e^- e e^+

consequência: as trajetórias de e^+ e e^- são espirais que se enrolam de modo oposto

7

Há diferenças importantes entre as forças elétricas e as magnéticas:

(i) a força el. está sempre na direção do campo el., a força magn. é perpendicular à direção do campo magn.

(ii) a força el. atua sempre sobre uma carga, a força magn. atua somente quando a carga estiver em mov.^{to}

(iii) a força el. realiza trabalho ao deslocar uma partícula carregada, a força magn. não efetua trabalho: $dW_E = \vec{F}_E \cdot d\vec{l} = \vec{F}_B \cdot \vec{v} dt = 0$ ~~for~~
⇒ quando a carga se move em um campo magn., a vel. pode mudar de direção mas não de módulo (caso contrário, a en-cinética mudaria mas sabemos que $\Delta K = W_s$).

Unidade de \vec{B} no S.I. é o Tesla:

$$1 T = 1 \frac{N}{Cm/s} = 1 \frac{N}{Am}$$

Outra unidade (não S.I.) comum é o Gauss

$$1 T = 10^4 G$$

Se uma carga q de vel. \vec{v} naja num região onde há um campo el. e um magn., a força sobre ela é:

8

$$\vec{F} = q(\vec{E} + \vec{v} \wedge \vec{B})$$

(força de Lorentz)

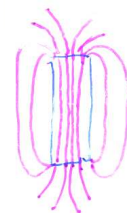
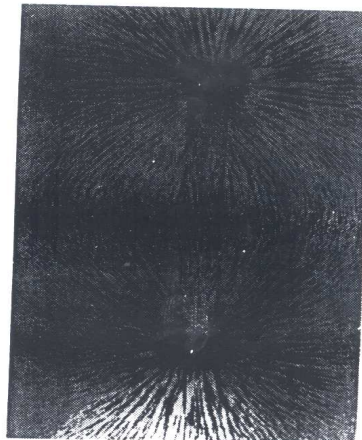
Ordem de grandeza para 31: exemplos

"Algumas Campos Magnéticos"

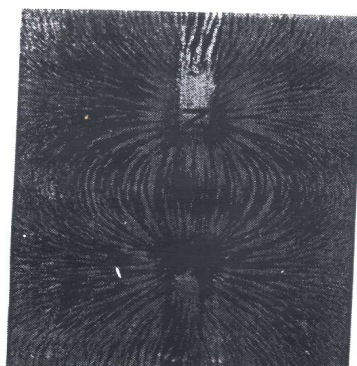
Na superfície de uma estrela de nêutrons (calculada)	10^8 T
Um eletroímã	1,5 T
Próximo a uma pequena barra imantada	10^{-2} T
Na superfície da Terra	10^{-4} T
No espaço interestelar	10^{-10} T
O menor valor numa sala magneticamente blindada	10^{-14} T

*Valores aproximados.

Linhas de campo magnético



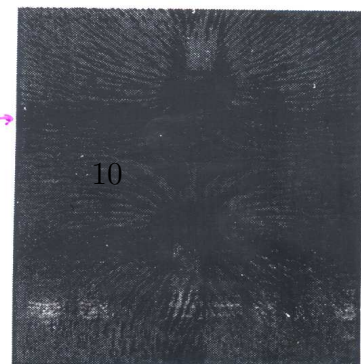
Configuração do campo magnético de uma barra imantada, evi-
denciada por limalha de ferro sobre uma folha de papel. (Corte-
sia de Henry Leap e Jim Lehman)



attração

repulsão

10



Configuração do campo magnético de duas barras imantadas, evi-
denciada por limalha de ferro. Esta configuração é a do campo
magnético entre pólos contrários. (Cortesia de Henry Leap e Jim
Lehman)

Configuração do campo magnético entre dois pólos ig

(136)

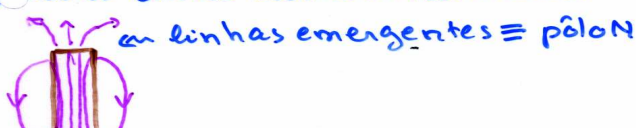
linhas de campo magn. e fluxo magn.

- As linhas de campo magn. são definidas de maneira semelhante às do campo el.
 - (i) direção tangente a \vec{B}
 - (ii) sentido de \vec{B}
 - (iii) espaçamento proporcional a (\vec{B})

- Elas podem ser visualizadas com lâmina de ferro como mostrado na transparência.

Notamos que:

- (i) para uma barra imantada:

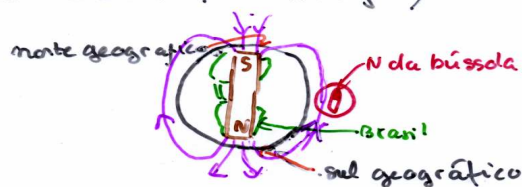


as linhas entrando = polos

(há mais linhas nos polos $\Rightarrow (\vec{B})$ maior)

- (ii) polos contrários se atraem e iguais se repelem.

- A própria Terra é um imã: seu polo N geográfico está próximo do polo S magn. \Rightarrow o polo N da agulha da bússola (= imã pequeno) aponta para o N geográfico (com um pequeno domo chamado declinação magn.)



11

(137)

Podemos definir o fluxo magn. através de uma superfície qualquer S:

$$\Phi_B = \int_S \vec{B} \cdot d\vec{A}$$

A unidade de Φ_B é o Weber: 1Wb = 1T.m²

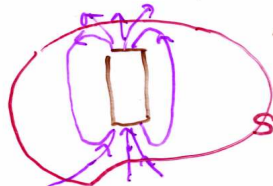
Enquanto $\Phi_E = \oint \vec{E} \cdot d\vec{A} = \frac{\text{q tot}}{\epsilon_0}$ p/S fechada

$$\boxed{\Phi_B = \oint \vec{B} \cdot d\vec{A} = 0}$$

lei de Gauss do magnetismo

pois não existe monopólo magn.

Uma consequência disto é que as linhas de campo de \vec{B} têm que ser fechadas (fazem as linhas que entram, saem)



Movimento de partículas carregadas em um campo magnético

CAMPO MAGNÉTICO UNIFORME com $\vec{v} \perp \vec{B}$

Como vimos que $\vec{F} \perp \vec{v}$ e \vec{v} só muda de sentido não de módulo, o movimento é circular uniforme



$$F_B = qvB = mv\frac{\omega^2}{r}$$

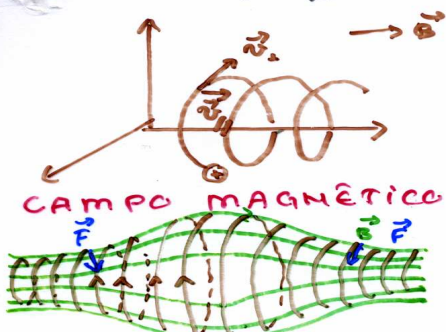
$$\Rightarrow r = \frac{mv}{qB}$$

(seq.) a frequência angular é: $\omega = \frac{v}{r} = \frac{qvB}{m}$

exemplo de aplicação: na transparência com os elétrons e o positron na câmara de bolha, as partículas perdem energia $\Rightarrow v \downarrow$ e $r \downarrow$ \Rightarrow as trajetórias são espirais.

CAMPO MAGNÉTICO COM \vec{v} QUALQUER UNIFORME

Há superposição do movimento circular no plano $\perp \vec{B}$ com raio $r = \frac{mv}{qB}$ e um movimento de translação $\parallel \vec{B}$ com vel. constante $v_{||}$.

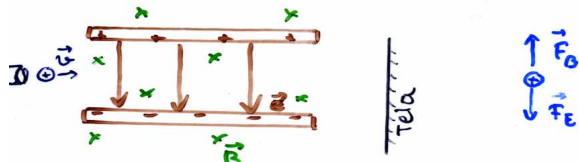


QUALQUER: pode haver aprisionamento
A carga é refletida p/tras e p/frente
nas extremidades \vec{F} aponta p/o centro da garrafa.

exemplos de aplicação: confinamento de plasma (gas quente), centurões de van Allen da terra que confina cargas vindas do sol (\Rightarrow aurora boreal/austral).

Movimento de partículas em campos elétrico e magnético

SELETOR DE VELOCIDADE: \vec{E} e \vec{B} cruzados



(i) Quando $E = B = 0$, notar a posição do feixe na tela.

(ii) Se $E \neq 0$, $B \neq 0$, teria um movimento parabólico.

(iii) Pode-se ajustar E e B de modo que $F_B + F_E = 0$ (a partícula segue uma reta) $\Leftrightarrow qE = qvB \Rightarrow v = \frac{E}{B}$ p/ trajetória retilínea

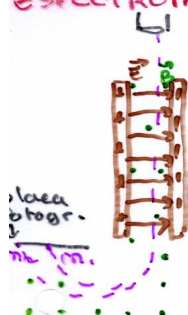
EXPERIÊNCIA DE THOMSON P/ MEDIR e/m

Eletrons de uma fonte são acelerados por um addp: $eV = \frac{1}{2}mv^2 \Rightarrow v = \sqrt{\frac{2eV}{m}}$ e passam por campos E e B cruzados. Os que tem trajetória retilínea satisfazem $v = \frac{E}{B}$, assim

$$\frac{e}{m} = \frac{E^2}{2VB^2}$$

(Obs: Thomson descobriu o eletron com isto + pais vários futebolistas haviam o mesmo e/m)

ESPECTROMETRO DE MASSA



Primeiro tem um seletor de vel. a fim de bloquear todos os íons exceto aqueles com $v = E/B$. Depois se tem um campo magn. B' $\perp v \Rightarrow$ os íons se movem sobre arcos circulares com $R = mv/qB$ \Rightarrow íons com massas diferentes colidem em lugares diferentes da placa fotográfica.

14

isto pode ser usado p/ estudar isotopes.

(149)

Exemplos:

- ① O campo magnético numa certa região é $\vec{B} = (4\hat{x} - 11\hat{y}) \text{ T}$. Um elétron se move no campo com $\vec{v} = (-2\hat{x} + 3\hat{y} - 7\hat{z}) \text{ m/s}$. \vec{F}_B ?

$$\begin{aligned}\vec{F}_B &= -e (-2\hat{x} + 3\hat{y} - 7\hat{z}) \wedge (4\hat{x} - 11\hat{y}) \\ &= -e (22\hat{x}\hat{y}\hat{y} + 12\hat{y}\hat{z}\hat{x} - 28\hat{z}\hat{x}\hat{x} + 77\hat{z}\hat{y}\hat{y}) \\ &= +e (10\hat{x} + 28\hat{y} + 77\hat{z})\end{aligned}$$

- ② Um próton com $v_x = 1,50^5 \text{ m/s}$, $v_y = 0$ e $v_z = 2,00 \cdot 10^5 \text{ m/s}$ em 20 entra num campo com $\vec{B} = 0,500 \text{ T} \hat{z}$.

a) \vec{F}_B em $t = 0$?

b) raio da trajetória, helicoidal, rel. ang. do próton e passo da hélice (= dist. percorrida ao longo da hélice durante uma revolução)

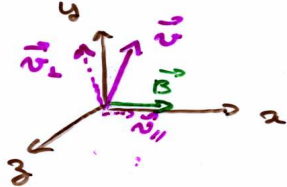
$$\begin{aligned}\text{a)} \vec{F}_B &= e \vec{v} \wedge \vec{B} \quad \text{com } \vec{v} = v_x \hat{x} + v_z \hat{z} \Rightarrow \vec{F}_B = ev_z B \hat{y} \\ &\quad \vec{B} = B \hat{z} \\ &= (1,60 \cdot 10^{-19} \text{ N}) \hat{y} \\ \text{b)} \begin{cases} F_B = ev_1 B = mv_1^2/r \\ v_1 = v_0 = v_z \end{cases} \Rightarrow r = \frac{mv_1}{eB} = 4,18 \text{ mm} \quad (1,61 = 1)\end{aligned}$$

$\omega = \frac{v_0}{r} = \frac{eB}{m} = 6,79 \cdot 10^3 \text{ rad/s}$

passo: $\frac{v_0}{\omega} T$ com $T = \frac{2\pi}{\omega}$ período

($v_{11} = v_0$)

$$= 19,7 \text{ mm}$$



15

EXERCÍCIOS SOBRE CAMPO MAGN. E FORÇA MAGN.

(14)

- Um elétron no ponto A na figura possui velocidade $v_0 = 1,4 \times 10^6 \text{ m/s}$. Determine:
- o módulo, direção e sentido do campo magnético que obriga o elétron a descrever uma órbita semicircular de A a B.
 - o tempo necessário para que o elétron se desloque de A a B.



522 29.13